

九州工業大学 正員 ○渡辺 明  
 九州工業大学大学院 学生員 星野親房  
 日本ヒューム管 KK 早野正義

## 1. まえがき

杭木や桿などのP C 部材はその使用目的に応じて長さがすでに決まっている、これを途中で切るなどという必要はないが、杭の場合には、地盤の高低や障害物などにより、設計長まで貯入しない場合が起ってきて、どうしても残った長さは切断しなくてはならない状態となる。そこで、プレテンション工法によるP C パイルを切断した場合、プレストレスはどの様に変化するか、付着長はどの程度か、そして鋼錠定着の仕組みはどうかなどを調べるために、カットオフテストを実施した。

## 2. 試験方法

今回使用したP C パイルは、プレテンション工法によるもので、コンクリートの配合ならびに強度、および高周波熱鍛造形P C 鋼棒（ウルボン）などの機械的性質は表-1のとおりである。P C 鋼棒単張力の測定は特別

に製作したテンション

メーターを緊張ジャッ

キと各鋼棒の間に挿入

して行なった。緊張解

放時の各鋼棒の引張力

はほぼ平均しており

$P_s = 5.88 \sim 6.12$  (t) で

ある。

表-1 供試体材料の諸性質

(a) コンクリートの配合

材 料	重 量
セメント	492 kg/m <sup>3</sup>
砂	611 "
砂利	1350 "
水	187 "
スランプ	5.8 cm

(b) コンクリート強度

材 料	$\sigma_2$ (プレストレス導入時)	$\sigma_3$ (カットオフ時)
圧縮強度	447 kg/cm <sup>2</sup>	495 kg/cm <sup>2</sup>
弾性係数	368500 kg/m <sup>3</sup>	374000 kg/m <sup>3</sup>

(c) ウルボン

公称直徑	断面積	引張強度	弾性係数
9.3 mm	63.7 mm <sup>2</sup>	143 kg/mm <sup>2</sup>	$2.2 \times 10^6$ kg/mm <sup>2</sup>

実際のP C パイル施工において、不要長のカットオフは手ノミ、あるいはコンクリートブレーカーを用いるが、本実験では、図-1に示す様な治具をあらかじめ供試体内にセットし、サンダーによりP C 鋼棒を切断して、パイル頭部をカットオフする方法をとった。この場合、特別のカットオフ方式を探つたのは、カットオフに長時間を要して測定精度が低下することをさけるためで、カットオフ時のボンド定着機構を本質的に明確にするにはあしらう方が好結果を得ると判断したからである。

供試体寸法、切断位置としてゲージ貼付位置などは図-1に示すとおりである。供試体は3本製作し、合計9回のカットオフテストを行つた。

## 3. 測定結果および考察

P C 鋼棒の往復率（但し付着長以遠）の引張应力を $\sigma_c$ とすればコンクリートの圧縮应力（プレストレス） $\sigma_3$ は式(1)で与えられる。 $\sigma_c = A_s \sigma_3 / A_c = \gamma c \sigma_3$  ————— (1) ここで  $A_s$ : P C 鋼棒の断面積 ( $63.7 \text{ mm}^2 \times 6 \text{ 本} = 3.8 \text{ cm}^2$ )  $A_c$ : コンクリートの断面積 ( $448.3 \text{ cm}^2$ )  $\gamma c$ :  $A_s/A_c$  ( $8.476 \times 10^{-3}$ ) したがって  $\sigma_c = 79.8 \text{ kg/cm}^2$

さて、パイルの往復率を切断すると、その端から内部に向ってアンカー・ボンドが生じて、新たに鋼線

の定着が達成されることである。鋼線端はコンクリート内にすべり込まないので、 $\sigma_s$ は完全に失われて零となる。付着長の範囲内で、 $\sigma_s$ の残留量は漸増して一定値に達する。したがってカットオフの進行に伴いパイル表面に予め貼付されたストレーンゲージの読みは、引張ひずみとして現われ、端部における程大きい理屈となる。この引張ひずみを $\epsilon'$ とすれば、 $\sigma'_c = \epsilon' E_c$  ( $E_c$ : コンクリートの弾性係数) が初期プレストレスの減退量を意味するから、パイル切断後のプレストレスは $(\sigma_c - \sigma'_c)$ であらわされる。この様にして求めた実測結果の一例を 図-2 および 図-3 に示す。

#### これらの実測結果

から、カットオフ時  
の付着長は 25cm~30  
cm であることがわかつ  
り、ウルボンのボン  
ド性良好なることが  
認められた。なお、  
鋼棒定着のためのア  
ンカーボンドに密接  
に関係する、鋼棒の  
まさつ係数( $\mu$ )、純  
付着力など( $T_{0.345}$ )

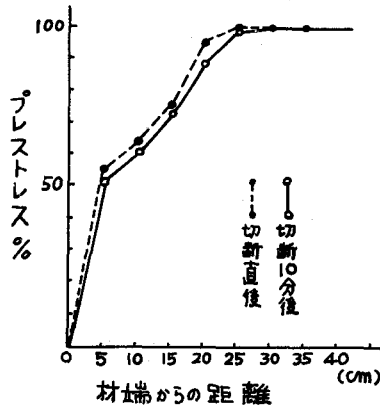


図-2

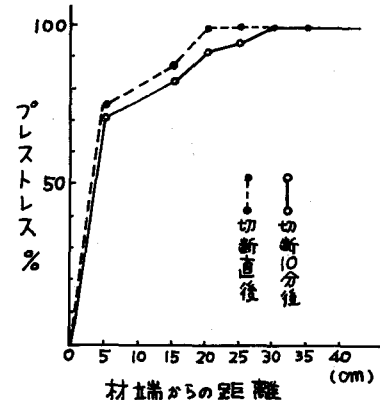


図-3

を仮定して、付着長( $\lambda_0$ )を理論的に求めた結果は図-4 のごとくある。また、筆者らは、パイル中にカールリン金針を埋設し、カットオフに引続き、プレストレスの時間的減退も測定中である。

参考文献 (1) 渡辺明; ボンド定着プレテンション部材の鋼線定着に関する実験的研究(土木学会論文集第125号) (2) 渡辺明; ボンド定着プレテンション工法における鋼線の摩擦係数並びにその測定法に関する研究(土木学会論文集第135号)

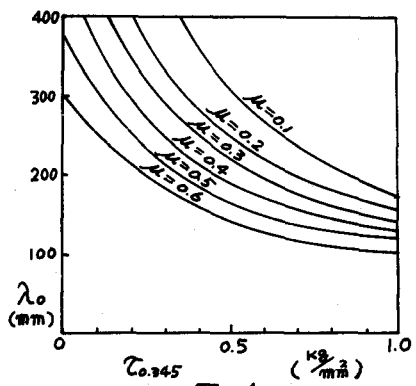


図-4

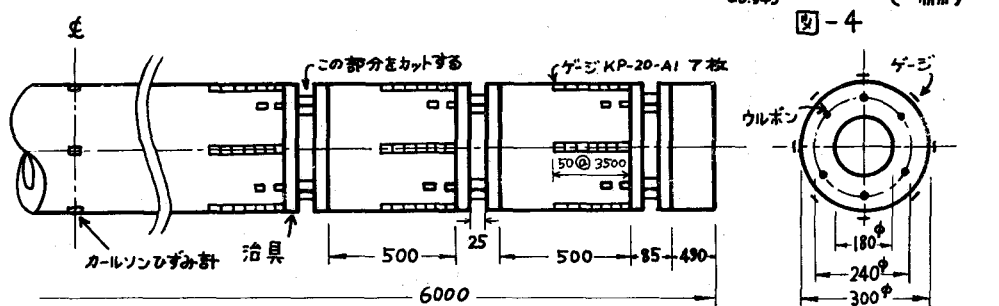


図-1 切断位置 および ゲージ貼付位置